

Sephacrose 4B 一步法对金环蛇蛇毒磷脂酶 A₂ 的分离纯化查红光 张云^①

(中国科学院昆明动物研究所 昆明 650223)

摘要: 利用经酸处理的 Sephacrose 4B 为层析介质,以含 0.2 mol/L 半乳糖, pH7.4 台氏液作为洗脱液,从广西产金环蛇(*Bungarus fasciatus*)蛇毒中一步分离得到一种磷脂酶 A₂。用 SDS-聚丙烯酰胺凝胶电泳测定其分子量为 14 kDa。N 端部分序列测定表明,所分离得到的磷脂酶 A₂ 其 N 端 16 个氨基酸残基序列与已报道的金环蛇蛇毒磷脂酶 A₂ 同功酶 VI (Lu & Lo, 1978)一致。该酶糖含量较高,为 13.4%;具有弱的磷脂酶 A₂ 活性,无毒,也无溶血和出血毒性。

关键词: 金环蛇; 磷脂酶 A₂; Sephacrose 4B

中图分类号: Q959.6+2, Q55 **文献标识码:** A **文章编号:** 0254-5853(2001)06-0433-04

磷脂酶 A₂ (phospholipase A₂, EC 3.1.1.4, 简称为 PLA₂) 能催化甘油磷脂的第 2 位脂酰键水解,生成溶血磷脂和游离脂肪酸。磷脂酶 A₂ 在生物体内广泛分布,在许多重要的生命活动中如脂类消化、细胞质膜代谢、信号传导、炎症发生和免疫防御等发挥着重要作用。按照磷脂酶 A₂ 的来源可以分为分泌性磷脂酶 A₂ (sPLA₂) 和胞质性磷脂酶 A₂ (cPLA₂) (Kramer *et al.*, 1986)。其中 sPLA₂ 是小分子量的水溶性蛋白质(一般分子量在 14 kDa 左右),它主要存在于动物的胰脏和蛇的毒液中,在蛇毒中含量较高。根据分子中的二硫键的配对方式,蛇毒磷脂酶 A₂ 被分为眼镜蛇蛇毒及海蛇蛇毒磷脂酶 A₂、蝰蛇蛇毒和响尾蛇蛇毒磷脂酶 A₂ 两类 (Dufton & Hider, 1983)。蛇毒磷脂酶 A₂ 由于来源广泛,又具有特殊的药理、毒理和生化性质,热稳定性好,而受到人们的广泛重视;因而对其基因序列、蛋白质序列和三维结构都进行过研究。

近年来针对磷脂酶 A₂ 的作用机理、结构与功能的关系,尤其是在磷脂酶 A₂ 的受体和抑制剂方面有过多报道。已报道的磷脂酶 A₂ 受体、结合蛋白和抑制剂均为糖蛋白 (Valentin & Lambeau, 2000; Ancian *et al.*, 1995; Hains *et al.*, 2000)。而对磷脂酶 A₂ 的糖基结合活性及其功能意义研究较少。有文

献 (Diccianni *et al.*, 1990, 1991; Dua & Cho, 1994; Lomonte *et al.*, 1994) 报道肝素可以抑制多种磷脂酶 A₂ 的活性,并认为这种抑制是由于肝素与磷脂酶 A₂ 酶蛋白结合而阻碍了磷脂酶 A₂ 与受体的结合。但对于肝素与磷脂酶 A₂ 结合的方式和结合位点并不十分清楚 (Selistre de Araujo *et al.*, 1996)。Fujita *et al.* (1995) 认为来源胰脏的磷脂酶 A₂ 与受体的结合是以受体表面寡糖基的特异识别方式结合,麦胚凝集素 (WGA) 可以抑制磷脂酶 A₂ 与受体的结合。尽管对于蛇毒磷脂酶 A₂ 还未见类似的报道,笔者假设蛇毒磷脂酶 A₂ 有糖基结合活性,并参照 Ogilvie *et al.* (1986) 分离蛇毒凝集素的方法,从金环蛇蛇毒中分离磷脂酶 A₂, 获得了 1 个纯的蛋白质组分,经鉴定为金环蛇蛇毒磷脂酶 A₂。现将其结果报道如下。

1 材料与方法

1.1 材料

金环蛇蛇毒由广西医科大学提供。Sephacrose 4B 为 Pharmacia 公司产品, D-半乳糖为 Amersco 公司产品, 电泳超低分子量标记为 Sigma 公司产品, PVDF 膜为 Perkin Elmer 公司产品, 卵磷脂为上海禽蛋二厂产品, 其他试剂均为 Sigma 公司产品或国产分析纯。

收稿日期: 2001-06-15; 修改稿收到日期: 2001-07-11

基金项目: 中国科学院“十五”计划预研项目资助课题

^①通讯联系人, E-mail: zhangy@mail.kiz.ac.cn

1.2 纯化步骤

将 0.5 g 金环蛇蛇毒冰冻干粉溶于 10 mL 台氏液中 (8 g NaCl, 0.05 g $\text{NaH}_2\text{PO}_4 \cdot \text{H}_2\text{O}$, 1 g NaHCO_3 , 0.02 g CaCl_2 , 0.1 g MgCl_2 , 0.2 g KCl/L, pH7.4), 离心后取上清上酸处理过 Sepharose 4B 柱 (1.8 cm \times 20 cm, 经台氏液平衡), 流速 0.15 mL/min。先用台氏液洗去杂蛋白, 再用含 0.2 mol/L 半乳糖的台氏液洗脱, 收集洗脱峰后, 对水透析, 冰冻干燥。干粉于 -20°C 保存。由于半乳糖在 280 nm 处有较高吸光值, 峰均依照在 220 nm 处的吸光值 (使用 Perkin Elmer 公司 Lambda Bio 40 型分光光度计) 收集。

1.3 蛋白质含量测定

采用 Bradford 法 (Darbre, 1986), 以牛血清白蛋白为标准。

1.4 SDS-PAGE 电泳分析及分子量测定

为了使小分子蛋白质有较好的分辨率, SDS-PAGE 在 Tris-Tricine 缓冲系统中进行 (Schagger & Jagow, 1987), 以超低分子量蛋白质标记作为参照, 电泳后凝胶用考马斯亮兰 G-250 进行染色。

1.5 N 末端序列测定及序列相似性搜索

将聚丙烯酰胺凝胶上的蛋白质经电转移到 PVDF 膜上, 剪下被染色确定的条带。于蛋白质序列分析仪 (ABI, 476A 型) 中进行序列分析。

用 Blast 程序将 N 末端氨基酸序列测定结果输入 Genbank 中进行序列相似性搜索, 并对搜索返回结果进行分析。

1.6 样品总糖含量测定

采用硫酸苯酚法测定对水彻底透析过 (直至透析液中检测不到糖) 的样品中的总糖含量, 以半乳糖为标准 (张惟杰, 1987)。

1.7 磷脂酶 A_2 活性测定及半乳糖对磷脂酶 A_2 活性的抑制

以卵磷脂为反应底物, 用 0.01 mol/L KOH 溶液滴定由酶反应所释放出的游离脂肪酸。在酶反应初速度阶段计算酶活力。酶比活力单位为每分钟每毫克蛇毒释放出的游离脂肪酸微摩尔数 (Kawauchi *et al.*, 1971)。

于上述反应混合物 (总体积 10 mL) 中加入 D-半乳糖至浓度为 10 mg/mL, 并加入待测磷脂酶 A_2 样品 200 μg , 再用上述方法测定样品的磷脂酶 A_2 活力。

1.8 其他活性测定

急性毒性试验使用 (20 \pm 2) g 昆明种小鼠, 对不

同试验组 (每组 4 只, 雌雄各 2 只) 腹腔注射 50 ~ 250 μg 不同剂量待测样品; 直接和间接溶血活性测定以小鼠及兔的红细胞为底物, 并参照 Shiomi *et al.* (1998) 的方法; 出血毒活性测定参照 Fuly *et al.* (2000) 的方法。

2 结果

2.1 磷脂酶 A_2 的分离纯化

经含 0.2 mol/L 半乳糖的台氏液洗脱, 结果得到一洗脱峰, 层析图谱见图 1。收集洗脱峰, 并对水进行彻底透析。透析后体积为 45 mL。经测定蛋白质浓度为 68.8 $\mu\text{g}/\text{mL}$, 即从 0.5 g 粗毒中获得 3.1 mg 蛋白质样品, 得率为 0.62%。

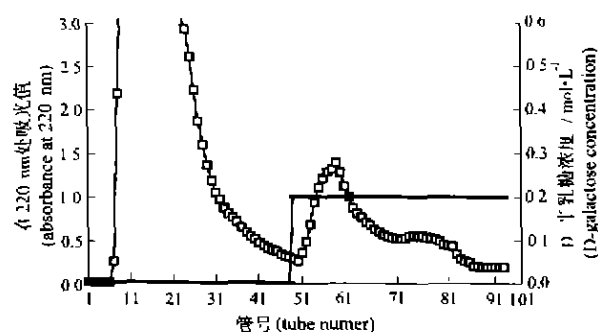


图 1 用 Sepharose 4B 柱分离金环蛇蛇毒亲和层析图谱
Fig.1 Affinity chromatogram of the venom of *Bungarus fasciatus* on Sepharose 4B column

柱体积: 1.8 cm \times 20 cm; 流速: 0.15 mL/min; 每管体积: 3 mL;
-□-□- 220 nm 处吸光值; — 洗脱液中半乳糖浓度 (mol/L).
Column volume: 1.8 \times 20 cm; flow rate: 0.15 mL/min; liquid volume of each tube: 3 mL; -□-□- absorbance at 220 nm; — galactose concentration in eluant (mol/L).

SDS-PAGE 结果见图 2。经染色后, 样品在还原和非还原条件下均为 1 条带, 说明该样品较纯且以单体形式存在。该样品在非还原条件下泳动速度较慢, 电泳条带位置也相应比较靠后, 这个结果与 Tsai *et al.* (1995) 所报道的蛇毒磷脂酶 A_2 在非还原条件下会发生聚集或泳动较慢的结果是一致的。根据样品在还原条件下电泳条带所在胶上位置与分子量标记相比较, 得出该蛋白质分子量约为 14 kDa。

测定该纯化组分蛋白质 N 末端的 16 个氨基酸序列的顺序为: N-L-Y-Q-F-K-N-M-I-E-C-A-G-T-R-T。

该末端序列使用 Blast 程序于 Genbank 进行相似性搜索后, 结果与从金环蛇蛇毒分离的磷脂酶 A_2 同功酶 VI (Lu & Lo, 1978) N 末端的 16 个氨基

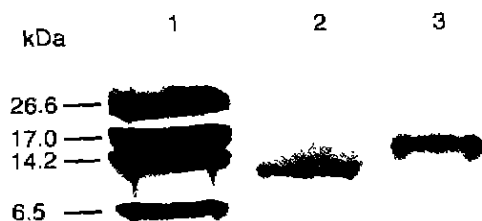


图 2 所纯化的磷脂酶 A₂ SDS 聚丙烯酰胺凝胶电泳

Fig. 2 SDS-polyacrylamide gel electrophoresis of the purified PLA₂

1. 超低分子量标记:丙糖磷酸异构酶(来源于兔肌肉, 26.6 kDa); 肌球蛋白(来源于马心脏, 17 kDa); α -白蛋白(来源于牛奶, 14.2 kDa); 胰蛋白酶抑制剂(来源于牛肺, 6.5 kDa)。2. 经还原处理后的纯化磷脂酶 A₂。3. 非还原处理的纯化磷脂酶 A₂。

Lane 1, ultra-low range molecular weight marker: Triosephosphate isomerase from rabbit muscle (26.6 kDa); Myoglobin from house heart (17 kDa); α -lactalbumin from bovine milk (14.2 kDa); Aprotinin from bovine lung (6.5 kDa). Lane 2, the purified PLA₂ (reducing conditions). Lane 3, the purified PLA₂ (non-reducing conditions).

酸序列一致。

2.2 磷脂酶 A₂ 活性和总糖含量

所纯化组分具有弱的磷脂酶 A₂ 活性, 其比活力为 0.41。而当反应体系中存在较高浓度 (10 mg/mL) 的 D-半乳糖时, 对酶活性没有抑制效应。经测定, 所纯化蛋白组分不具有溶血和出血活性, 对小鼠几乎无毒。蛋白质浓度为 0.77 mg/mL, 并且已对水彻底透析的样品, 经硫酸苯酚法测定其中总糖含量为 0.12 mg/mL, 即样品总糖含量为 13.4% (w/w)。

3 讨论

蛇毒凝集素是典型的可以识别并结合糖基的小分子蛋白质, 然而眼镜蛇科的蛇毒中几乎不含有凝集素 (Gartner & Ogilvie, 1984)。本研究得到的具有弱的磷脂酶 A₂ 活性的蛋白质, 其 N 末端 16 个氨基酸的序列与已报道的金环蛇毒磷脂酶 A₂ 同功酶

VI (Lu & Lo, 1978) 一致, 但两者是否是同一金环蛇毒磷脂酶 A₂, 还有待进一步实验证实。所纯化磷脂酶 A₂ 虽然经过彻底透析, 但其含糖量仍为 13.4% (w/w), 而从蜂毒中纯化的磷脂酶 A₂ 糖含量为 20% ~ 40% (w/w) (Costa & Palma, 2000; Oliveira & Palma, 1998)。尽管有较高的糖含量, 但并没有影响蛋白质在 SDS-PAGE 中的迁移速率及蛋白质染色。这一结果与 Oliveira & Palma (1998) 报道的蜂毒磷脂酶 A₂ 的结果一致。

对于磷脂酶 A₂ 如何与糖基作用, 至今尚未见详细的报道。Dua & Cho (1994), Lomonte *et al.* (1994) 认为, 肝素与磷脂酶 A₂ 结合而影响其活性, 是因为静电相互作用, 而不是因为对糖基的特异识别结合所致。本实验结果显示蛇毒磷脂酶 A₂ 具有糖基结合活性, 并可以通过糖基结合活性加以分离。在一种蛇毒中往往含有磷脂酶 A₂ 的多种同功酶, 仅在金环蛇毒中不同的全序列已被测定的磷脂酶 A₂ 就有 6 种 (Lu & Lo, 1978, 1981; Liu *et al.*, 1988, 1989, 1992)。但笔者利用 Sepharose 4B 柱吸附, 用半乳糖溶液洗脱仅得到了其中的 1 种磷脂酶 A₂, 而 Sepharose 4B 的主要成分为多聚半乳糖。这一结果证明磷脂酶 A₂ 不仅具有对糖基识别结合的能力, 而且具有一定的特异性。笔者所分离的金环蛇毒磷脂酶 A₂ 就可能对半乳糖有特异性结合功能。在磷脂酶 A₂ 活性测定过程中, 加入一定量的半乳糖并不能抑制本研究所分离的磷脂酶 A₂ 的活性, 有可能是酶与半乳糖的结合位点与酶的活性中心未发生重叠的缘故。当然这一推论需要更为细致的工作来加以证实。因此, 我们的实验结果不仅仅是提出了一种分离磷脂酶 A₂ 新的且更为简单的方法, 更重要的是它显示了蛇毒磷脂酶 A₂ 具有的糖结合活性和可能的糖结合特异性。这对于进一步研究磷脂酶 A₂ 作用机理、结构与功能关系和受体作用机制等都具有重要意义。

参 考 文 献

- Ancian P, Lambeau G, Lazdunski M, 1995. Multifunction activity of the extracellular domain of the M-type (180 kDa) membrane receptor for secretory phospholipase A₂ [J]. *Biochemistry*, **34**: 13146 ~ 13151.
- Costa H, Palma M S, 2000. Agelotoxin: a phospholipase A₂ from the venom of the neotropical social wasp cassununga (*Agelaia pallipes pallipes*) (Hymenoptera: Vespidae) [J]. *Toxicon*, **38**: 1367 ~ 1379.
- Darbre A, 1986. Analytical Methods in Practical Protein Chemistry: A Handbook [M]. New York: John Wiley and Sons. 227 ~ 335.
- Diccianni M B, Mistry M J, Hug K *et al.*, 1990. Inhibition of phospholipase A₂ by heparin [J]. *Biochim. Biophys. Acta*, **1046**: 242 ~ 248.
- Diccianni M B, Lilly-Stauderman M, McLean L R *et al.*, 1991. Heparin prevents the binding of phospholipase A₂ to phospholipid micelles: importance of the amino-terminus [J]. *Biochemistry*, **30**: 9090 ~ 9097.

- Dua R, Cho W, 1994. Inhibition of human secretory class II phospholipase A₂ by heparin[J]. *Eur. J. Biochem.*, **221**:481-490.
- Dufton M J, Hider R C, 1983. Classification of phospholipase A₂ according to sequence: Evolutionary and pharmacological implications[J]. *Eur. J. Biochem.*, **137**:545-551.
- Fujita H, Kawamoto K, Hanasaki K *et al*, 1995. Glycosylation-dependent binding of pancreatic type I phospholipase A₂ to its specific receptor[J]. *Biochem. Biophys. Res. Commun.*, **209**:293-299.
- Fuly A L, Calil-Elias S, Zingali R B *et al*, 2000. Myotoxic activity of an acidic phospholipase A₂ isolated from *Lachesis muta* (Bushmaster) snake venom[J]. *Toxicon*, **38**:961-972.
- Gartner T K, Ogilvie M L, 1984. Isolation and characterization of three Ca²⁺ dependent beta-galactoside-specific lectins from snake venoms[J]. *Biochem. J.*, **224**:301-307.
- Hains P G, Sung K L, Tseng A *et al*, 2000. Functional characteristics of a phospholipase A₂ inhibitor from *Notechis ater* serum[J]. *J. Biol. Chem.*, **260**:9742-9749.
- Kawauchi S, Iwanaga S, Samejima Y *et al*, 1971. Isolation and characterization of two phospholipase A's from the venom of *Atractodescra blanchardii*[J]. *Biochim. Biophys. Acta*, **236**:142-160.
- Kramer R M, Cheema G C, Deykin A *et al*, 1986. Solubilization and properties of Ca²⁺ dependent human platelet phospholipase A₂[J]. *Biochim. Biophys. Acta*, **878**:394-403.
- Liu C S, Chang C S, Leu H L, *et al*, 1988. The complete amino-acid sequence of basic phospholipase A₂ in the venom of *Bungarus fasciatus*[J]. *Biol. Chem. Hoppe-Seyler*, **369**:1227-1233.
- Liu C S, Leu H L, Chang C S *et al*, 1989. Amino acid sequence of a neutral phospholipase A₂ (III) in the venom of *Bungarus fasciatus*[J]. *Int. J. Pept. Protein Res.*, **34**:257-261.
- Liu C S, Kuo P Y, Chen J M *et al*, 1992. Primary structure of an inactive mutant of phospholipase A₂ in the venom of *Bungarus fasciatus* (banded krait)[J]. *J. Biochem.*, **112**:707-713.
- Lomonte B, Moreno E, Tarkowski A *et al*, 1994. Neutralizing interaction between heparins and myotoxin II, a lysine 49 phospholipase A₂ from *Bothrops asper* snake venom: Identification of a heparin-binding and cytolytic toxin region by the use of synthetic peptides and molecular modeling[J]. *J. Biol. Chem.*, **269**:29867-29873.
- Lomonte B, Tarkowski A, Bagge U *et al*, 1994. Neutralization of the cytolytic and myotoxic activities of phospholipases A₂ from *Bothrops asper* snake venom by glycosaminoglycans of the heparin/heparan sulfate family[J]. *Biochem. Pharmacol.*, **47**:1509-1518.
- Lu H S, Lo T B, 1978. Complete amino acid sequence of a new type of cardiotoxin *Bungarus fasciatus* venom[J]. *Int. J. Pept. Protein Res.*, **12**:181-183.
- Lu H S, Lo T B, 1981. Complete amino acid sequences of two cardiotoxin-like analogues from *Bungarus fasciatus* (banded krait) snake venom[J]. *Toxicon*, **19**:103-111.
- Ogilvie M L, Dockter M E, Wenz L *et al*, 1986. Isolation and characterization of lactose-binding lectins from the venoms of the snakes *Lachesis muta* and *Dendroaspis jamesoni*[J]. *J. Biochem. (Tokyo)*, **100**:1425-1431.
- Olveira M R, Palma M S, 1998. Polybutoxins: a group of phospholipases A₂ from the venom of the neotropical social wasp paulistinha (*Polybia paulista*)[J]. *Toxicon*, **36**:189-199.
- Schagger H, Jagow G von, 1987. Tricine-sodium dodecyl sulfate-polyacrylamide gel electrophoresis for the separation of proteins in the range from 1 to 100 kDa[J]. *Anal. Biochem.*, **166**:368-379.
- Selistre de Araujo H S, White S P, Ownby C L, 1996. cDNA cloning and sequence analysis of a lysine 49 phospholipase A₂ myotoxin from *Atractodescra contortrix laticinctus* snake venom[J]. *Arch. Biochem. Biophys.*, **326**:21-30.
- Shiomi K A, Kazama A, Shirakura K *et al*, 1998. Purification and properties of phospholipases A₂ from the crown-of-thorns starfish (*Acanthaster planci*) venom[J]. *Toxicon*, **36**:589-599.
- Tsai I H, Lu P J, Wang Y M *et al*, 1995. Molecular cloning and characterization of a neurotoxic phospholipase A₂ from the venom of Taiwan habu (*Trimeresurus urosquamatus*)[J]. *Biochem. J.*, **311**:895-900.
- Valentin E, Lambeau G, 2000. Increasing molecular diversity of secreted phospholipase A₂ and their receptors and binding proteins[J]. *Biochim. Biophys. Acta*, **1488**:59-70.
- Zhang W J, 1987. The Biochemical Research Technology of Complex Carbohydrates[M]. Shanghai: Shanghai Science and Technology Publishing House. 7. [张维杰, 1987. 复合多糖生化研究技术, 上海: 上海科学技术出版社. 7.]

Purification of a Phospholipase A₂ from *Bungarus fasciatus* Venom by One Step Sepharose 4B Method

ZHA Hong-Guang ZHANG Yun^①

(Kunming Institute of Zoology, the Chinese Academy of Sciences, Kunming 650223, China)

Abstract: By one step affinity chromatography (acid treated Sepharose 4B as matrix, tyrode solution containing 0.2 mol/L D-galactose as eluting solution), a phospholipase A₂ was isolated from *Bungarus fasciatus* venom. Its partial N-terminal sequence is identical to previously reported *Bungarus fasciatus* venom phospho-

lipase A₂ isozyme VI (Lu & Lo, 1978). This phospholipase A₂ has only weak phospholipase A₂ activity, no hemolytic nor hemorrhage activity. The enzyme exists as monomer and its molecular weight is 14 kDa, and has a relatively high carbohydrate content (13.4% w/w).

Key words: *Bungarus fasciatus*; Phospholipase A₂; Sepharose 4B

^①Corresponding author, Fax: 86-871-5191823; Tel: 86-871-5194279; E-mail: zhangy@mail.kiz.ac.cn